

Geomagnetické efekty úplného zatmenia Slnka 11. augusta 1999

Milan Hvoždara, Alina Prigancová, Geofyzikálny ústav SAV, geofhvoz@savba.sk

Abstrakt

Identifikácia geomagnetického efektu slnečného zatmenia je predmetom dlhšieho výskumu. V príspevku sa predkladajú výsledky analýzy zložiek geomagnetického pola počas úplného zatmenia Slnka 11. augusta 1999, zaregistrovaných na observatóriach v pásme totality i jeho blízkosti. Zároveň sa diskutuje otázka metodiky separovania zatmením generovaného efektu z digitálnych magnetogramov.

1. ÚVOD

Jeden z najznámejších slnečných úkazov – úplné zatmenie – pritahuje pozornosť nielen astronómov, ale aj geofyzikov. Súvisí to s efektmi, indukovanými zatmením v okolozemskom priestore. Ide tak o plazmový (ionosféra), ako aj magnetický obal (GMP – geomagnetické pole) našej planéty. Existujú viaceré štúdie, zdôrazňujúce zmenu ionizačných procesov v ionosfére pri zatmení, ktoré navodzuje krátkotrvajúce nočné podmienky poklesu koncentrácie ionizovaných častíc. V dôsledku následnej zmeny vodivosti ionosféry sa modifikuje ionosférický prúdový systém, čo sa prejavuje poruchami GMP.

2. MODELOVANIE PORUCHY GMP

Pre kvantitatívny odhad zatmením indukovanej poruchy GMP sa využívajú rôzne prístupy opierajúce sa nielen o priamu analýzu experimentálnych údajov (napr. Heilig et al., 2001), ale aj o teoretické modelovanie (napr. Takeda a Araki, 1984; Korte et al., 2001).

Predkladané výsledky teoretického modelovania sa získali na základe modelu navrhnutého Ashourom a Chapmanom (Ashour a Chapman, 1965) pre vznik magnetickej poruchy v dôsledku zmeny izotropnej vodivosti ionosféry. Pre tento model sa aplikovali teoretické vzťahy špecifikujúce vplyv lokálnych ne-regularít ionosférickej vodivosti na prúdový systém v ionosfére. Pri zvolenom postupe a využití vzťahov uvedených v (Abramov a Alperovich, 1970) sa podarilo zovšeobecniť Ashourov-Chapmanov model i pre anizotropnú ionosféru. Matematický aparát sférických funkcií uplatnený pre izotropnú ionosféru

(Prigancová a Hvoždara, 2001) je aplikovateľný aj pre anizotropnú ionosféru.

Pri úplnom zatmení sa v ionosfére vytvára lokálna nehomogenita kruhovej konfigurácie, kde celková koncentrácia elektrónov (TEC – total electron concentration) sa znižuje o $\sim 20\text{--}65\%$ (Takeda a Araki, 1984; Campbell, 1989; Jakowski et al., 1999; Korte et al., 2001). Podobne sa znižuje vodivosť lokálnej kruhovej škvŕny, ktorá putuje pozdĺž pásma totality. Kvantityvitne sa zmena vodivosti popisuje parametrom κ .

Poruchový potenciál $\Omega(r, \varphi, z)$ v prípade izotropnej ionosféry je (Ashour a Chapman, 1965):

$$\Omega(r, \varphi, z) = -Ia W(r, z) \sin \varphi, \quad (1)$$

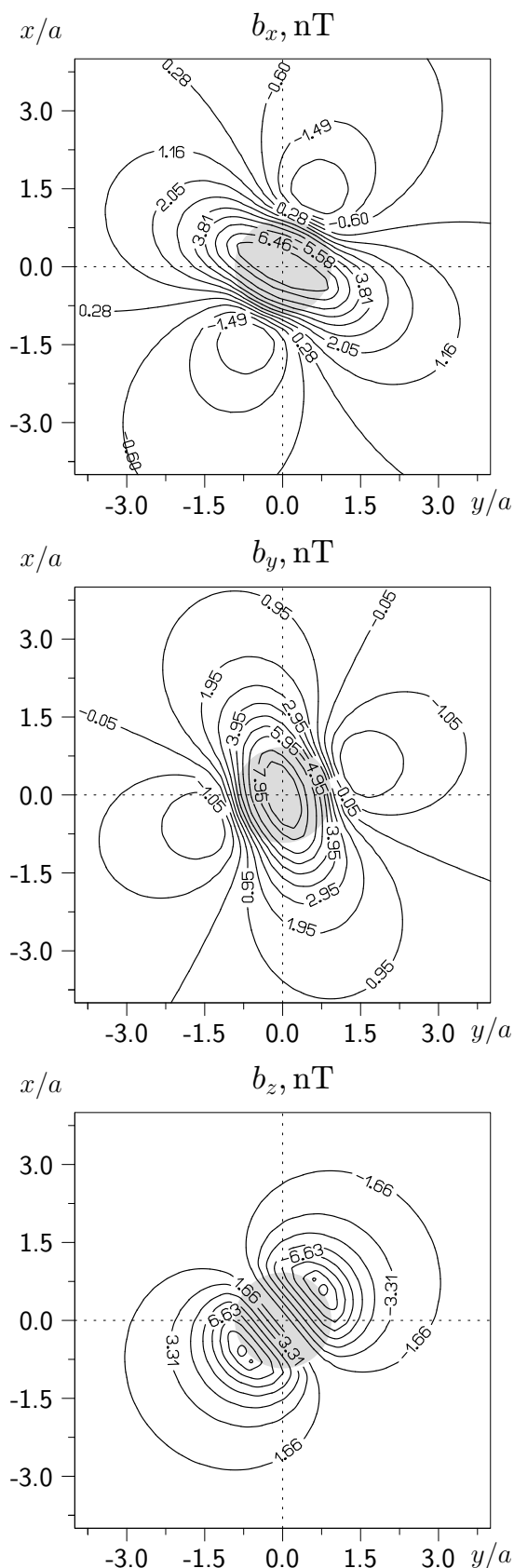
kde a je polomer škvŕny a $I = K I_0$ je prúdová hustota závislá od prúdovej hustoty pred zatmením I_0 ; multiplikátor $K = (1 - \kappa)/(1 + \kappa)$.

V anizotropnej ionosfére zložky vodivosti sú tzv. Hallova G a Pedersenova Σ . Ak ich uvažujeme vnútri kruhovej škvŕny (index 1) a mimo nej (index 0), potom $G_1 = \kappa G_0$ a $\Sigma_1 = \kappa \Sigma_0$, kde κ charakterizuje pokles elektrickej vodivosti škvŕny voči okoliu, pričom $0.2 < \kappa < 1.0$.

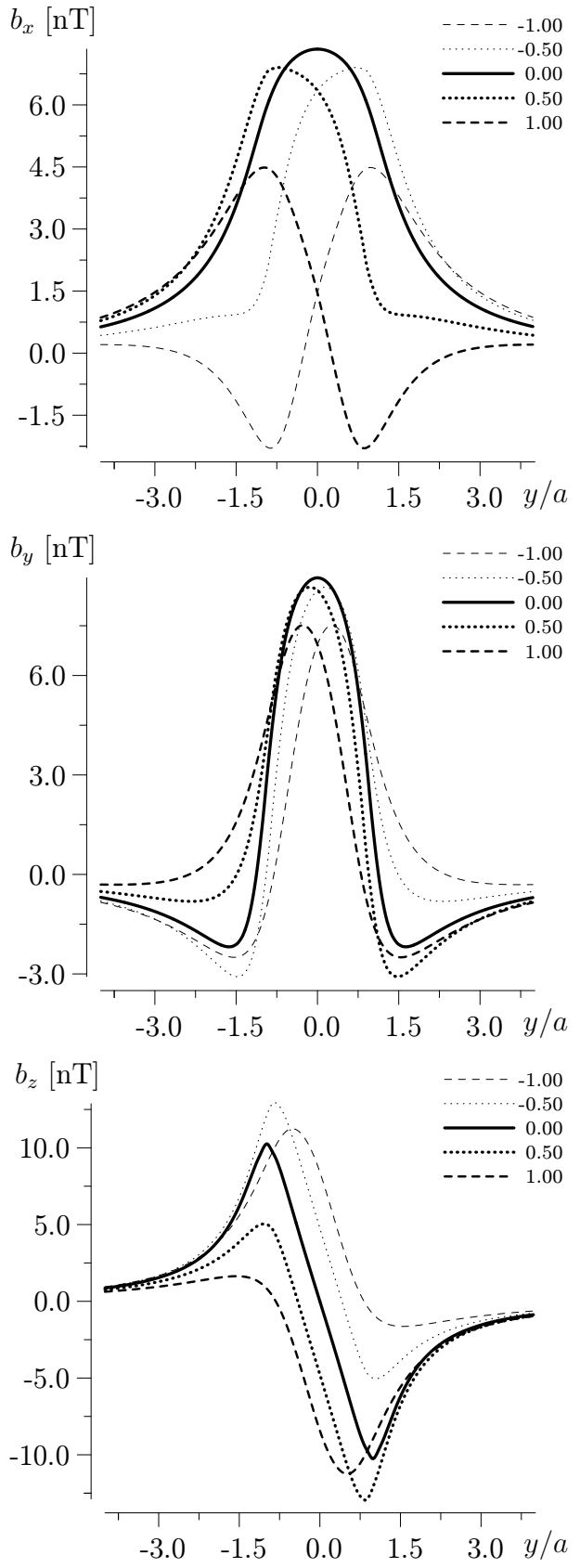
Poruchový potenciál $\Omega'(r, \varphi, z)$ v prípade anizotropnej ionosféry závisí od $G_{0,1}$, $\Sigma_{0,1}$ a ich vzájomného pomery:

$$\begin{aligned} \rho_{0,1} &= \Sigma_{0,1} / (\Sigma_{0,1}^2 + G_{0,1}^2), \\ \delta_{0,1} &= G_{0,1} / (\Sigma_{0,1}^2 + G_{0,1}^2), \\ \Delta &= (\rho_0 + \rho_1)^2 + (\delta_0 - \delta_1)^2, \\ A' &= -1 + 2\rho_0(\rho_0 + \rho_1)/\Delta, \\ B' &= 2\rho_0(\delta_0 + \delta_1)/\Delta. \end{aligned}$$

Anisotropic ionosphere, $\varepsilon = .0^\circ$

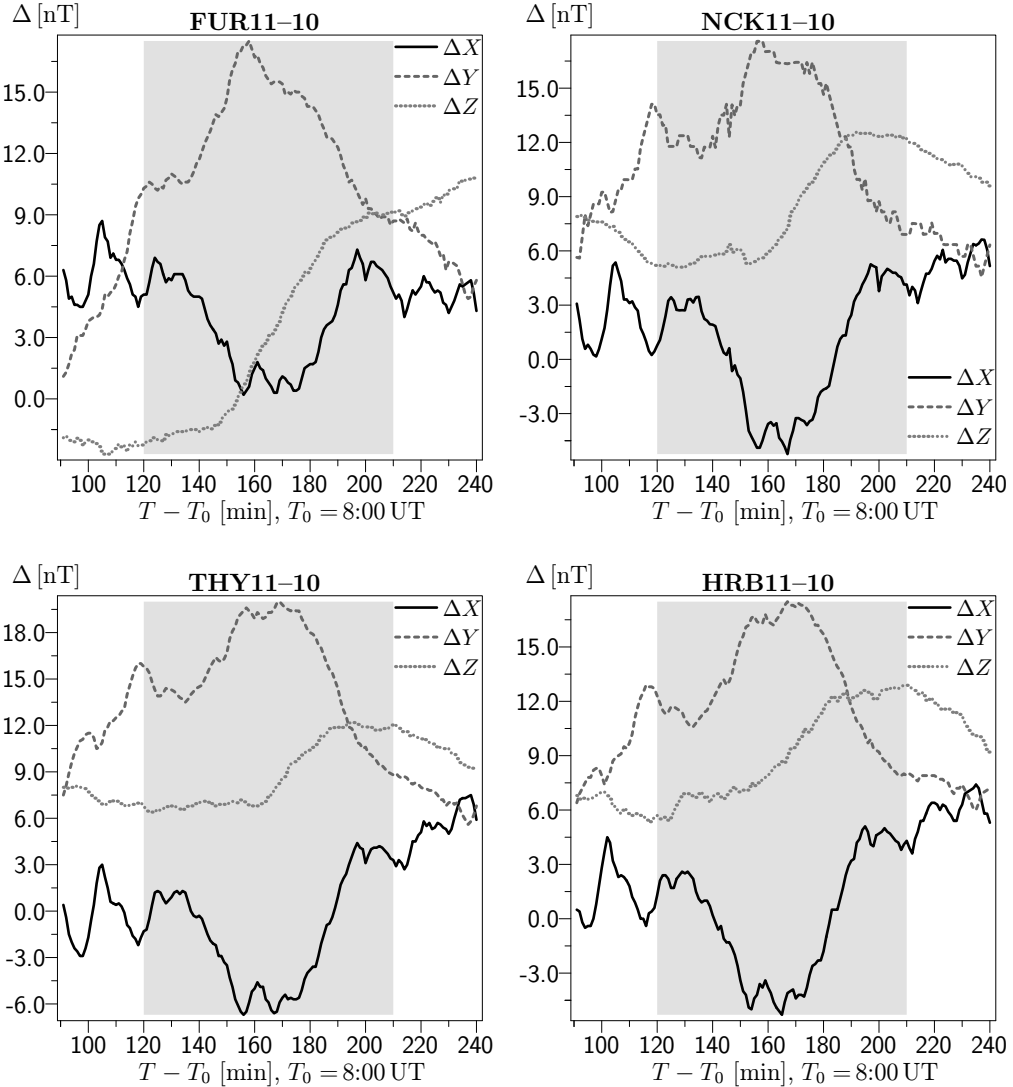


Anisotropic ionosphere, $\varepsilon = .0^\circ$



Obr. 1. Mapa priestorového rozloženia magnetického pola poruchy vyvolanej škvrnovou vodivostnou nehomogenitou v anizotropnej ionosfére počas slnečného zatmenia.

Obr. 2. Teoretické krivky zložiek magnetického pola poruch b_x , b_y , b_z ako funkcie y/a pre vybrané $x/a = (0, \pm 0.5, \pm 1.0)$.



Obr. 3. Zatmením indukované poruchy eliminované z pozorovaní GMP pre geomagnetické observatóriá Fürstenfeldbruck, Nagycenk, Tihany a Hurbanovo. Z časového úseku 09:30 – 12:00 UT 11 augusta 1999 zatnenená časť 10:00 – 11:30 UT zodpovedá výraznej poruche najmä v zložke ΔY , ktorá preukazuje persistentný charakter priebehu pre všetky observatóriá.

Vzťah pre $\Omega'(r, \varphi, z)$ je potom zložitejší:

$$\Omega'(r, \varphi, z) = I_0 a [A' \sin \varphi + B' \cos \varphi] W(r, z). \quad (2)$$

Zároveň výrazy (1) a (2) obsahujú spoločnú funkciu magnetického potenciálu $W(r, z)$. Závislosť W/r , $\partial W/\partial r$, a $\partial W/\partial z$ od bezrozmernej vzdialenosťi r/a je pre rôzne hodnoty z/a diskutovaná v (Prigancová a Hvoždara, 2001).

Teoretické vyjadrenie pre geomagnetickú poruchu $\mathbf{b} = \hat{\mu}_0 \mathbf{H}$ predkladáme v pravouhlých súradniach – os x orientovaná na sever, y na východ, z kolmo dolu:

$$\begin{aligned} b_x &= \hat{\mu}_0 (H_r \cos \alpha - H_\varphi \sin \alpha), \\ b_y &= \hat{\mu}_0 (H_r \sin \alpha + H_\varphi \cos \alpha), \\ b_z &= \hat{\mu}_0 H_z, \end{aligned} \quad (3)$$

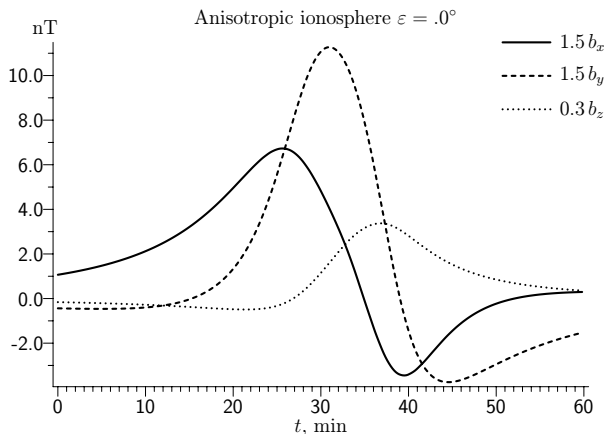
kde $\hat{\mu}_0 = 400\pi$ pre vyjadrenie \mathbf{b} [nT]. V (3) uhol α je azimut odčítaný od severu. Cylindrické súradnice porušeného magnetického poľa H_r , H_φ , H_z sa vypočítajú zo všeobecného vzťahu $\mathbf{H} = -\text{grad } \Omega$ pomocou vzorcov:

$$\begin{aligned} H_r &= Ia(\partial W/\partial r) \sin \varphi, \\ H_\varphi &= Ia(W/r) \cos \varphi, \\ H_z &= Ia(\partial W/\partial z) \sin \varphi \end{aligned} \quad (4)$$

pre izotropnú ionosféru a

$$\begin{aligned} H_r &= -\partial \Omega'/\partial r, \quad H_\varphi = -r^{-1} \partial \Omega'/\partial \varphi, \\ H_z &= -\partial \Omega'/\partial z \end{aligned} \quad (5)$$

pre anizotropnú ionosféru. Na obr. 1 vidíme mapy priestorového rozloženia zložiek vektoru \mathbf{b} pre prípad



Obr. 4. Časový priebeh zatmením indukovanéj poruchy upravenej na indukčný efekt.

$\varepsilon = 0^\circ$, t.j. keď pôvodné elektrické pole je v smere na sever (Prigancová, Hvoždara, 2001). Vidno výraznú priestorovú závislosť na x/a , y/a . Priebeh zložiek b_x , b_y , b_z ako funkcií bezrozmernej vzdialenosťi y/a pozdĺž pásu totality pre jednotlivé „rezy“ $x/a = (0, \pm 0.5, \pm 1.0)$ je znázornený na obr. 2.

3. POROVNANIE TEORETICKÝCH VÝSLEDKOV S GEOMAGNETICKÝMI POZOROVANiami

Výsledky monitoringu GMP poukazujú, že zatmením vyvolaná porucha sa najzreteľnejšie prejavuje v zložke Y . Potvrdzujú to výsledky analýzy zložiek GMP počas úplného zatmenia Slnka 11. augusta 1999. Údaje s 1-minútovým časovým rozlíšením sa čerpali z geomagnetických observatórií strednej Európy, kde pásmo totality prechádzalo od západu na východ. Na obr. 3 je vidieť priebeh porúch v jednotlivých zložkách ΔX , ΔY a ΔZ pre nasledovné observatóriá: Fürstenfeldbruck (FUR: $\varphi = 48.17^\circ$, $\lambda = 11.28^\circ$), Nagycenk (NCK: $\varphi = 47.63^\circ$, $\lambda = 16.72^\circ$), Tihany (THY: $\varphi = 46.90^\circ$, $\lambda = 17.90^\circ$) a Hurbanova (HRB: $\varphi = 47.87^\circ$, $\lambda = 18.18^\circ$), ktoré bolo blízke k pásmu totality (98%-né zatmenie). Zložky porúch ΔX , ΔY a ΔZ boli vypočítané eliminovaním „normálnej“ S_q variácie, ktorá sa uvažovala ako totožná s predchádzajúcim dňom, keďže geomagnetická aktívita dňa 10. augusta 1999 bola mimoriadne nízka. Referenčný čas T_0 sa odpočítaval od 08:00 UT, ale na obr. 3 vidíme len úsek $T - T_0$ od 90 do 240 min so zatienenou časťou s najvýraznejším priebehom v blízkosti kulminácie zatmenia $T - T_0 = 170$ min (pre Fürstenfeldbruck je $T - T_0 = 158$ min). Charakter poruchy je najzreteľnejší pre ΔY . Je opodstatnené považovať zistenú zmenu GMP počas zatmenia pri pokojných geomagnetických podmien-

kach za efekt spôsobený zatmením. Jeho priebeh je v dobrom súlade s teoretickými krivkami, ako je vidieť na obr. 4, kde zložky vypočítanej indukovanej poruchy sú upravené na tzv. indukčný efekt. Z teórie elektromagnetickej (EM) pola je známe, že pri EM indukcii v Zemi indukované (sekundárne) pole modifikuje primárne pole (v danom prípade magnetické pole porúch b) a teda výsledné zložky sa vyjadrujú nasledovne: $1.5 b_x$, $1.5 b_y$, $0.3 b_z$. Hodnoty b_x , b_y a b_z sú vypočítané pre profil $x/a = -1$ a $y/a = 4.4 - 0.1333 t$, ak berieme do úvahy rýchlosť postupu zatmenia rovnú 40 km/min a polomer škvŕny $a = 300$ km. Na obr. 4 je znázornený priebeh týchto zložiek počas pohybu optického tieňa a škvŕnovej vodivostnej nehomogenity v ionosfére pozdĺž pásma totality: príchod od západu k danému miestu pozorovania a potom vzdäľovanie sa na východ. Najvýraznejšie sa porucha prejavuje v b_y zložke, čo sa aj pozoruje v zmenách GMP počas zatmenia.

4. ZÁVER

Na základe modelu magnetického pola tenkej prúdovej vrstvy pre anizotropnú ionosféru boli získané teoretické vzťahy na výpočet magnetického pola porúch spôsobených slnečným zatmením. Porovnanie teoreticky získaných hodnôt s pozorovaniami porúch GMP počas zatmenia 11 augusta 1999 ukázalo, že poruchy sú registrovatelné a najvýraznejšie sa prejavujú v zložke Y .

Podakovanie

Príspevok bol pripravený v rámci grantov VEGA 2/1118 a 2/2009.

LITERATÚRA

- Abramov, L.A. a L.S. Alperovich: 1970, Cosmic Researches, **8**, 80 (in Russian).
- Ashour, A. a S. Chapman: 1965, Geophys. J. R.A.S., **10**, 31.
- Campbell, W.H.: 1989, Geomagnetism **3**, edited by J.A. Jacobs, 385, Academic Press, London.
- Heilig, B., A. Csontos a P. Kovács: 2001, Contrib. Geophys. Geod., **31**, 323.
- Jakowski, N., S. Schülter a S. Heise: 1999, EOS Trans. AGU, **80**, 621.
- Korte, M., H. Lühr, M. Förster a V. Haak: 2001, J. Geophys. Res., **106**, 18563.
- Prigancová, A. a M. Hvoždara: 2001, in: Člověk ve svém pozemském a kosmickém prostředí. Hvězdárna Úpice, Úpice, 67.
- Takeda, M. a T. Araki: 1984, Planet. Space Sci., **32**, 1013.